

Казанцев Е.И. стр. 350 - технология нагрева стального
 k_3 = коэффициент усреднение температур по сечению
($k_3 = \delta / Bi$): Плита $t_{op} = t_c + \frac{\Delta t}{3}$: при $Bi=0$: при $Bi=2,72$
Гравитационная
c. 315.
R.
черт - 1,67

Государственный комитет РСФСР по делам науки и высшей школы
ЛЕНИНГРАДСКИЙ ГОСУДАРСТВЕННЫЙ ТЕХНИЧЕСКИЙ УНИВЕРСИТЕТ

Составители: Владимир Иванович Становой,
Андрей Алексеевич Буйлов

РАСЧЕТЫ ГОРЕНИЯ ТОПЛИВА,
ПАРАМЕТРОВ ВНЕШНЕГО ТЕПЛООБМЕНА
И РЕЖИМОВ НАГРЕВА МЕТАЛЛА
В ПЕЧАХ ПЕРИОДИЧЕСКОГО ДЕЙСТВИЯ

Методические указания

Редактор Л.И. Романова
Технический редактор А.И. Колодяжная

Ротапринт. Подписано к печати 21.02.91 Формат бум. 60x90 //16
Объем 3 п.л. Тир. 600 экз. Зак. 152 Бесплатно
ИПО ЦКТИ. 194021, Ленинград, Политехническая ул., д.24

РАСЧЕТЫ ГОРЕНИЯ ТОПЛИВА,
ПАРАМЕТРОВ ВНЕШНЕГО ТЕПЛООБМЕНА
И РЕЖИМОВ НАГРЕВА МЕТАЛЛА
В ПЕЧАХ ПЕРИОДИЧЕСКОГО ДЕЙСТВИЯ

Методические указания

ЛЕНИНГРАД
1991

Составители: В.И.Становой, А.А.Буйлов.

Расчеты горения топлива, параметров внешнего теплообмена и режимов нагрева металла в печах периодического действия: Метод.указания /Сост.: В.И.Становой, А.А.Буйлов. - Л.: ЛГТУ, 1991. - 46 с.

Методические указания предназначены для студентов физико-металлургического и механико-машиностроительного факультетов, изучающих курс "Тепловая работа нагревательных устройств" и выполняющих курсовой проект по теме "Тепловой расчет и конструирование печи".

Рассматриваются современные методики расчета основных процессов, определяющих тепловую работу печей, а также качественные и количественные связи между параметрами, обеспечивающими требуемый по технологии режим нагрева металла. Эти знания потребуются для успешного решения проблем, возникающих при разработке и совершенствовании технологических процессов современного материаловедения.

Рекомендованы к изданию кафедрой "Пластическая обработка металлов давлением" и методическим советом физико-металлургического факультета.

Табл. 10. Ил. 8. Библиогр.: 6 назв.

ВВЕДЕНИЕ

Физико-металлургический факультет ЛГТУ готовит инженеров-металлургов в основном для предприятий машиностроительной промышленности. Производство машин теснейшим образом связано с тепловой обработкой (нагревом) различных деталей и заготовок, которую обычно выполняют в печах различного типа. Нагрев металла является одной из важнейших стадий производственного процесса, влияющей на производительность, качество и себестоимость выпускаемой продукции.

В настоящее время в машиностроении для нагрева металлических заготовок под прессование, штамповку и термическую обработку используют печи самых различных конструкций, которые могут быть объединены общим признаком. В подавляющем большинстве случаев (85-90%) - это камерные печи садочного типа. В таких печах нагрев заготовок производят отдельными садками, с последующим их охлаждением вне рабочего пространства, или вместе с печью, что и определяет периодичность нагрева. Широкое применение такого типа печей объясняется, в первую очередь, их универсальностью, позволяющей обрабатывать в них по разным режимам самые разнообразные по форме и размерам заготовки, что в условиях машиностроения делает эти печи незаменимыми.

Для того чтобы технически грамотно выбрать и использовать печь существующей конструкции для решения конкретной технологической задачи, инженер-металлург должен быть знаком с основами ее тепловой работы, под которой понимают совокупность всех процессов, протекающих в печи и определяющих основной процесс - нагрев металла. Эти знания будут ему необходимы также при составлении технических заданий на конструирование новых и реконструкцию существующих печей, предназначенных для реализации новых технологических процессов.

Сущность тепловой работы нагревательных и термических печей садочного типа одинакова и определяется сочетанием процессов теплоизделия, теплообмена и теплоусвоения, которые протекают в рабочем

пространстве. Поэтому задачи расчета таких печей сводят к выявлению условий протекания указанных процессов, которые обеспечат заданный режим нагрева и заданную производительность печи.

Все студенты, изучающие дисциплину "Тепловая работа нагревательных устройств", выполняют курсовой проект на тему "Тепловой расчет и конструирование печи". При этом они знакомятся с современными методиками расчета основных процессов, определяющих тепловую работу печей, а также качественные и количественные связи между параметрами, обеспечивающими требуемый технологический режим нагрева металла. Полученные знания помогут им в дальнейшей инженерной деятельности успешно решать проблемы, связанные с технологиями современного материаловедения.

ИСХОДНЫЕ ДАННЫЕ И ПОРЯДОК РАСЧЕТА КАМЕРНЫХ САДОЧНЫХ ПЕЧЕЙ

Камерные садочные печи представляют собой агрегаты периодического действия. Для печей такого типа обычно задают следующие исходные данные.

1. Технологическое назначение печи: нагрев под обработку давлением или один из видов термообработки – нормализация, закалка и т.д. Вид нагрева определяет конечную температуру нагрева поверхности заготовок, а также требования к точности нагрева, т.е. допустимый технологией перепад температур между поверхностью и центром заготовки в момент выдачи ее из печи.
2. Размеры нагреваемых заготовок и марка стали, из которой они изготовлены. По марке стали из справочников определяют ее теплофизические свойства, необходимые для расчетов.
3. Число заготовок, одновременно нагреваемых в печи. Именно по заданному числу заготовок устанавливают размеры рабочей камеры печи путем формирования садки. Если же размеры печи заданы, то из заготовок компонуется садка. В обоих случаях садку формируют таким образом, чтобы обеспечить наиболее благоприятные условия нагрева каждой заготовки в отдельности, а следовательно, и всей садки в целом. Общие принципы формирования садки излагаются на занятиях, а способ расположения заготовок для конкретного задания обсуждается с преподавателем во время консультаций.
4. Вид топлива: природный газ, мазут или смесь природного газа с коксовым или доменным газами. При использовании смеси газов для отопления печи задается теплотворная способность этой смеси.
5. Тягодутьевые ресурсы, определяющие условия отвода продуктов горения из печи и условия подачи к топливоожигающим устройствам воздуха, идущего на горение.
6. Температура подогрева воздуха, идущего на горение. Она необ-

ходится для выбора и расчета рекуператора, который должен обеспечить подогрев воздуха до заданной температуры за счет теплоты отходящих продуктов сгорания.

Расчет нагревательных и термических печей садочного типа обычно проводят в следующем порядке:

Производят компоновку (формирование) салки из заданного числа одновременно нагреваемых заготовок.

Рассчитывают горение топлива с целью определения объема продуктов сгорания и их состава.

Рассчитывают параметры, характеризующие интенсивность теплообмена излучением в рабочем пространстве печи.

Выполняют расчет нагрева металла в соответствии с температурным режимом печи, выбранным с учетом технологических ограничений по нагреву металла.

Составляют тепловой баланс печи, позволяющий определить необходимый расход топлива и выбрать тип и число топливосжигающих устройств.

Проводят аэродинамические расчеты печи, т.е. расчеты движения газов в дымовом и воздушном трактах печи.

Выбирают тип рекуператора и рассчитывают его основные рабочие параметры.

Более подробно о целях и порядке расчета каждого из названных выше разделов будет сказано ниже.

Задание на курсовой проект имеет следующий вид (с числовыми данными одного из вариантов задания):

1. Тип печи: камерная садочная с выдвижным подом.

2. Материал и габариты нагреваемых заготовок: слитки из стали 40 диаметром 1000 мм и длиной 2000 мм.

3. Салка печи: два слитка.

4. Режим нагрева металла: нагрев под нормализацию. Начальная температура металла 20°C. Конечная температура поверхности заготовок 850°C. Конечный перепад температур по сечению заготовки 10°C.

5. Топливо: смесь природного и доменного газов, $Q_H = 25000 \text{ кДж}/\text{м}^3$, влажность $W = 30 \text{ г}/\text{м}^3$.

6. Аэродинамические расчеты дымового и воздушного трактов.

7. Расчет рекуператора для подогрева воздуха до температуры 200°C.

РАСЧЕТ ГОРЕНИЯ ТОПЛИВА

Это одна из стадий теплового расчета пламенных печей, в результате чего определяют следующие характеристики: низшую теплоту сгорания топлива; теоретический и действительный объемы воздуха; выход и состав продуктов горения; плотность продуктов горения.

Исходные данные:

1) для жидкого и твердого топлива - марка топлива, его состав, влажность;

2) для газообразного топлива - состав, влажность, низшая теплотворная способность смешанного топлива, если оно образуется путем смешения двух видов газообразного топлива (например, для смеси природного и доменного газов).

Порядок выполнения расчета

Все расчеты ведут на единицу количества топлива (на 1 кг жидкого и твердого; на 1 м³ газообразного).

1. Рабочий состав топлива. Расчеты проводят по рабочей массе топлива, характеризующей состав топлива в практических условиях его использования. Коэффициент пересчета состава сухого топлива на влажный (рабочую массу топлива) определяют из выражений

$$k = \frac{100 - H_2O}{100 - (H_2O)_T}; \quad (1)$$

$$H_2O = 100W / (W + 803,6), \quad (2)$$

где $(H_2O)_T$ - содержание влаги в топливе по справочным данным, %;

H_2O - заданное содержание влаги в топливе, %; W - содержание водяных паров в топливе, г/м³.

Рабочий состав топлива определяют путем умножения соответствующих компонентов сухого топлива на коэффициент пересчета k :

$$CO_2^P = CO_2^C \cdot k \quad \text{и т.д.} \quad (3)$$

2. Теплота сгорания топлива. Низшую теплоту сгорания топлива определяют по формулам:

для жидкого и твердого топлива (мДж/кг)

$$Q_H^P = 0,339C^P + 1,03H^P - 0,109(O^P - S^P) - 0,25W^P, \quad (4)$$

для газообразного топлива ($MДж/m^3$)

$$Q_H^P = 0,127C^P + 0,108H_2^P + 0,234H_2S^P + 0,357CH_4^P + 0,596C_2H_4^P, \quad (5)$$

где C^P , H^P , COP , H_2^P , ... - содержание соответствующих компонентов в рабочем составе топлива, %.

Для смешанного топлива теплота сгорания обычно задается. В этом случае необходимо определить долю отдельных видов топлива в смеси и ее состав. Если обозначить теплоты сгорания смеси газов Q_{cm} , первого Q' и второго Q'' , то доля первого газа в смеси составит $x = (Q_{cm} - Q'') / (Q' - Q'')$, а доля второго - $(1 - x)$. Теплоту сгорания каждого из газов, входящих в смесь, вычисляют по их рабочему составу.

После определения долей газов находят состав смеси как сумму произведений соответствующих компонентов первого и второго газов на их доли, например,

$$(CO_2)_{cm} = x(CO_2)' + (1-x)(CO_2)'' \dots \quad (6)$$

3. Теоретический и действительный объем воздуха. Теоретический расход воздуха L_o рассчитывают по следующим формулам:

для жидкого и твердого топлива (на 1 кг)

$$L_o = (0,0889(C^P + 0,375S^P) + 0,265H^P - 0,0333O^P) \cdot (1 + 0,00124d_8); \quad (7)$$

для газообразного топлива (на 1 m^3)

$$L_o = 0,0476 \cdot (0,500C^P + 0,5H_2^P + 2CH_4^P + 3C_2H_4^P + 1,5H_2S^P - O^P) \cdot (1 + 0,00124d_8), \quad (8)$$

где d_8 - влагосодержание сухого воздуха, g/m^3 . Обычно в расчетах влагосодержание сухого воздуха принимают равным $10 \text{ g}/m^3$.

Действительный объем воздуха, зависящий от вида топлива, необходимый для полного сжигания единицы топлива, определяют из соотношения

$$L_g = \alpha L_o, \quad (9)$$

где α - коэффициент избытка воздуха, зависящий от вида топлива и типа горелочного устройства. При расчетах топлива коэффициент избытка воздуха принимается равным $1,05 \dots 1,15$ для газообразного топлива, $1,15 \dots 1,25$ для жидкого и $1,2 \dots 1,6$ для твердого.

4. Выход и состав продуктов горения. Качественный состав продуктов горения любого топлива в воздухе одинаков: CO_2 , H_2O , SO_2 , N_2 ,

O_2 . Количество продуктов полного сгорания (m^3) для каждой составляющей вычисляют по формулам:

для жидкого и твердого топлива (на 1 кг)

$$\left. \begin{aligned} V_{CO_2} &= 0,0187C^P; & V_{H_2O} &= 0,112H^P + 0,0124H_2O^P + 0,00124L_g \cdot d_8; \\ V_{SO_2} &= 0,007S^P; & V_{O_2} &= 0,21(\alpha - 1)L_o; \\ V_{N_2} &= 0,008N^P + 0,79L_g; \end{aligned} \right\} \quad (10)$$

для газообразного топлива (на 1 m^3)

$$\left. \begin{aligned} V_{CO_2} &= 0,01 \cdot (COP + COP + CH_4^P + 2C_2H_4^P); \\ V_{H_2O} &= 0,01 \cdot (2CH_4^P + 2C_2H_4^P + H_2^P + H_2O^P + H_2S^P + 0,124L_A \cdot d_8); \\ V_{N_2} &= 0,01 \cdot (N_2 + 79L_g); & V_{O_2} &= 0,21(\alpha - 1)L_o; & V_{SO_2} &= 0,01H_2S. \end{aligned} \right\} \quad (11)$$

Общее количество продуктов горения при полном сжигании единицы топлива находят из выражения

$$V_g = V_{CO_2} + V_{H_2O} + V_{N_2} + V_{SO_2} + V_{O_2}. \quad (12)$$

Состав продуктов горения в объемных процентах определяют следующим образом:

$$CO_2 = \frac{V_{CO_2}}{V_g} \cdot 100; \quad H_2O = \frac{V_{H_2O}}{V_g} \cdot 100 \dots \quad (13)$$

Плотность продуктов горения (kg/m^3) рассчитывают по их процентному составу:

$$\rho_g = \frac{0,44 \cdot CO_2 + 0,18H_2O + 0,28N_2 + 0,32O_2 + 0,64SO_2}{22,4}. \quad (14)$$

Таблица 1

Состав основных видов топлива (%)

Вид топлива	H_2	CO	CH_4	C_2H_4	C	S	CO_2	H_2O	N_2	O_2	H_2S	Зола
Доменный газ	3,3	27,4	0,9	-	-	-	10,0	-	58,4	-	-	-
Хоксовый газ	50,8	5,4	26,5	1,7	-	-	2,8	0,4	11,4	1,0	-	-
Природный газ	2,0	0,6	93,0	0,4	-	-	0,3	-	3,0	0,5	0,2	-
Назут малосернистый												
марка 10	12,3	-	-	-	85,6	0,5	-	1,0	-	0,5	-	0,1
марка 20	11,5	-	-	-	85,3	0,6	-	2,0	-	0,5	-	0,1
Назут сернистый												
марка 10	11,5	-	-	-	84,2	2,5	-	1,0	-	0,7	-	0,1
марка 20	11,3	-	-	-	83,1	2,9	-	2,0	-	0,5	-	0,2

Составы различных видов топлива, наиболее часто используемого в плавильных печах, приведены в табл. 1.

ПРИМЕР РАСЧЕТА

Рассмотрим пример расчета смешанного газообразного топлива. Согласно заданию печь должна отапливаться смесью природного и доменного газов (теплота сгорания 25 МДж/м³, влажность 30 г/м³). Состав природного и доменного газов приведен в табл. 2.

Таблица 2

Газ	CO_2	CO	H_2	N_2	CH_4	C_2H_4	O_2	H_2S	Влажность, г/м ³
Природный	0,3	0,6	2,0	3,0	93,0	0,4	0,5	0,2	30
Доменный	10	27,4	3,3	58,4	0,9	-	-	-	30

Пересчитаем по формулам (1) – (3) состав сухого газа на рабочий:

$$H_2O = 100 \cdot 30 / (30 + 803,6) = 3,6\%;$$

$$k = (100 - 3,6) / 100 = 0,964.$$

Рабочий состав природного газа

$$CO_2^P = 0,3 \cdot 0,964 = 0,29\% \text{ и т.д.}$$

Рабочий состав доменного газа

$$CO_2^P = 10 \cdot 0,964 = 9,64\% \dots$$

Рабочие составы (%) природного и доменного газов сведены в табл. 3.

Таблица 3

Газ	CO_2^P	CO^P	H_2^P	N_2^P	CH_4^P	$C_2H_4^P$	O_2^P	H_2S^P	H_2O^P	Сумма
Природный	0,29	0,58	1,93	2,89	89,65	0,39	0,48	0,19	3,6	100
Доменный	9,64	26,41	3,18	56,3	0,87	-	-	-	3,6	100

Теплоту сгорания каждого газа вычисляем по формуле (5):

$$Q_{H_{20}}^P = 0,127 \cdot 0,58 + 0,108 \cdot 1,93 + 0,234 \cdot 0,19 + 0,357 \cdot 89,65 + 0,596 \cdot 0,39 = 32,56 \text{ МДж/м}^3;$$

$$Q_{N_2}^P = 0,127 \cdot 26,41 + 0,108 \cdot 3,18 + 0,357 \cdot 0,87 = 4,0 \text{ МДж/м}^3.$$

Определим состав смеси.

Доля природного газа в смеси:

$$\alpha = (25,0 - 4,0) / (32,56 - 4,0) = 0,735,$$

доля доменного газа: $(1 - 0,735) = 0,265$.

Рабочий состав смешанного газа [см. Ф-лу (6)]:

$$CO_{2\text{ см}}^P = 0,29 \cdot 0,735 + 9,64 \cdot 0,265 = 2,77 \% \dots$$

Рабочий состав (%) смешанного газа сведем в табл. 4.

Таблица 4

$CO_{2\text{ см}}^P$	$CO_{\text{ см}}^P$	$H_{2\text{ см}}^P$	$N_{2\text{ см}}^P$	CH_4^P	$C_2H_4^P$	$O_{2\text{ см}}^P$	$H_2S_{\text{ см}}^P$	$H_2O_{\text{ см}}^P$	Сумма, %
2,77	7,42	2,26	17,04	66,14	0,28	0,35	0,14	3,6	100

Теоретически необходимое количество воздуха (м^3) определяем по формуле (8):

$$L_o = 0,0476 (0,5 \cdot 7,42 + 0,5 \cdot 2,26 + 2 \cdot 66,14 + 3 \cdot 0,28 + 1,5 \cdot 0,14 - 0,35) \cdot (1 + 0,00124 \cdot 10) = 6,58.$$

Действительное количество воздуха при $\alpha = 1,1$ согласно (9) :

$$L_g = 1,1 \cdot 6,58 = 7,23 \text{ м}^3.$$

Количество продуктов сгорания (м^3) рассчитываем по формулам (II):

$$V_{CO_2} = 0,01 \cdot (2,77 + 7,42 + 66,14 + 2 \cdot 0,28) = 0,77 \text{ м}^3;$$

$$V_{N_2} = 0,01 \cdot (17,04 + 79 \cdot 7,23) = 5,88 \text{ м}^3;$$

$$V_{H_{20}} = 0,01 \cdot (2 \cdot 66,14 + 2 \cdot 0,28 + 2,26 + 3,6 + 0,14 + 0,124 \cdot 7,23 \cdot 10) = 1,62 \text{ м}^3;$$

$$V_{O_2} = 0,21 \cdot (1,1 - 1) \cdot 6,58 = 0,137 \text{ м}^3;$$

$$V_{SO_2} = 0,01 \cdot 0,14 = 0,0014 \text{ м}^3.$$

Общее количество продуктов сгорания согласно (II):

$$V_g = 0,77 + 1,62 + 5,88 + 0,137 + 0,0014 = 8,41 \text{ м}^3.$$

Рассчитаем состав продуктов сгорания смешанного газа по формулам (13)

$$CO_2 = \frac{0,77}{8,41} \cdot 100 = 9,14\%; \quad H_2O = (1,62/8,41) \cdot 100 = 19,27\%;$$

$$SO_2 = (0,0014/8,41) \cdot 100 = 0,02; \quad N_2 = 5,88 \cdot 100/8,41 = 69,94;$$

$$O_2 = 0,137 \cdot 100/8,41 = 1,63.$$

Плотность продуктов сгорания вычисляем согласно (14):

$$\rho_g = \frac{(0,44 \cdot 9,14 + 0,18 \cdot 19,27 + 0,28 \cdot 69,94 + 0,32 \cdot 1,63 + 0,64 \cdot 0,02)}{22,4} = 1,23 \text{ кг/м}^3.$$

РАСЧЕТ ПАРАМЕТРОВ ВНЕШНЕГО ТЕПЛООБМЕНА

На поверхность нагреваемого в печи материала теплота передается за счет излучения и конвекции: $q_M = q_{\text{конв}} + q_{\text{изл}}$, где $q_{\text{конв}}$ и

$q_{\text{изл}}$ – тепловые потоки, переданные соответственно конвекцией и излучением. Следует иметь в виду, что доля теплоты, передаваемой конвекцией в печах с рабочей температурой более 700°C , не превышает 15...20 % и падает с увеличением температуры. Существующие методики расчета конвективного теплообмена дают относительную погрешность около 20 ... 30 %, поэтому в дальнейшем будем считать, что конвективный тепловой поток составляет 10 % от лучистого теплового потока: $q_{\text{конв}} = 0,1 q_{\text{изл}}$. Тогда общий удельный поток теплоты, передаваемый на поверхность металла: $q_M = 1,1 q_{\text{изл}}$.

Тепловой поток излучением на поверхность нагреваемого материала может быть вычислен по формуле

$$q_{изл} = C_{np} \left[(T_{cp}/100)^4 - (T_{нов}/100)^4 \right],$$

где $q_{изл}$ - тепловой поток излучением; T_{cp} , $T_{нов}$ - температуры среды и поверхности нагреваемого материала, К; C_{np} - приведенный коэффициент излучения, $\text{Вт}/\text{м}^2\text{K}^4$.

При расчете теплового потока на поверхность садки в качестве источника излучения может быть выбрана печь, газ или кладка. В реальных условиях режим нагрева контролируется по показаниям печной термопары. Температура, фиксируемая горячим спаем такой термопары, дает промежуточное значение между температурой газа (наиболее высокой температурой в печи), кладки и металла. Принято считать, что на поверхность печной термопары и металла передаются равные тепловые потоки, поэтому в дальнейшем при его определении принимаем в качестве источника излучения печь. Тогда с учетом конвекции тепловой поток на металл

$$q_M = 1,1 C_{pm} \left[(T_{пч}/100)^4 - (T_{нов}/100)^4 \right], \quad (15)$$

где C_{pm} - приведенный коэффициент излучения в системе печь - металл, $\text{Вт}/\text{м}^2\text{K}^4$; $T_{пч}$ - температура печи, К;

Исходя из того что тепловой поток излучением на металл одинаков независимо от того, что мы выбираем в качестве источника излучения, то, зная q_M , можно определить температуру газов и кладки из выражений

$$\begin{aligned} q_M &= C_{rm} \left[(T_r/100)^4 - (T_{нов}/100)^4 \right] = \\ &= C_{km} \left[(T_{кл}/100)^4 - (T_{нов}/100)^4 \right], \end{aligned}$$

C_{rm} ≠ C_{km}; C_{rm} > C_{km}

тогда

$$\begin{aligned} T_r &= 100 \cdot \sqrt{\frac{q_M}{C_{rm}} + (T_{нов}/100)^4} \quad \text{и} \\ T_{кл} &= 100 \cdot \sqrt{\frac{q_M}{C_{km}} + (T_{нов}/100)^4}, \end{aligned} \quad (16)$$

где C_{rm} , C_{km} - приведенные коэффициенты излучения соответственно в системе газ - металл и кладка - металл, $\text{Вт}/\text{м}^2\text{K}^4$; T_r - температура

$$C_{nm} = \epsilon_{nm} \cdot 5,67$$

газа, К; $T_{кл}$ - температура внутренней поверхности кладки, К.

Таким образом, основной задачей расчета внешнего теплообмена является определение приведенных коэффициентов излучения. *C_{np}; C_{rm}, C_{km}*.

Приведенные коэффициенты излучения рассчитывают по формулам:

$$C_{pm} = \frac{5,67 \cdot \epsilon_m \cdot \varphi_{mk}}{1 - \varphi_{mm} (1 - \epsilon_m)}, \quad \text{где } \varphi_{mm} \neq 0; \quad (17)$$

CP 433

$$C_{rm} = \frac{5,67 \cdot \epsilon_m \cdot \epsilon_r}{\epsilon_r + \varphi_{km} (1 - \epsilon_r)} \cdot \frac{\epsilon_m}{\varphi_{km}}, \quad \text{где } \varphi_{km} = \frac{F_m}{F_r + F_m}; \quad (18)$$

Tайп. 152с (VI.50)

$$C_{km} = \frac{5,67 \cdot \epsilon_m \left[1 + (1 - \epsilon_r) \frac{F_m}{F_{kl}} \right]}{1 + (1 - \epsilon_r)(1 - \epsilon_m) \frac{F_m}{F_{kl}}} \cdot \frac{\epsilon_m}{\varphi_{km}}, \quad (19)$$

где 5,67 - коэффициент излучения абсолютно черного тела, $\text{Вт}/\text{м}^2\text{K}^4$; ϵ_m - степень черноты металла; F_m - поверхность металла, участвующая в теплообмене, м^2 ; F_{kl} - поверхность кладки, м^2 ; $\varphi_{mk} = (1 - \varphi_{mm})$ - угловой коэффициент с металла на кладку; $\varphi_{mm} = F_m / (F_{kl} + F_m)$ - угловой коэффициент с металла на металлы; φ_{km} - угловой коэффициент с кладки на металлы, численно равный φ_{mm} ; ϵ_r - степень черноты газа.

Степень черноты продуктов сгорания, зависящая от состава дыма, его температуры и эффективной длины луча, может быть определена по выражению

$$\epsilon_r = 1 - \exp(-10K\rho s_{\text{эфф}}), \quad (20)$$

где K - коэффициент ослабления; ρ - суммарное парциальное давление паров воды и углекислого газа в продуктах сгорания, МПа; $s_{\text{эфф}}$ - эффективная длина луча, м.

Коэффициент ослабления вычисляют по формуле

$$K = \frac{0,8 (1 + 20P_{H_2O})(1 - 0,38 \frac{T_r}{1000})}{\sqrt{10 \cdot \rho \cdot s_{\text{эфф}}}}. \quad (21)$$

* если $\varphi_{mm} \neq 0$; $\varphi_{kk} \neq 0$;

$$K = \frac{0,8 (1 + 20P_{H_2O})(1 - 0,38 \frac{T_r}{1000})}{\sqrt{P \cdot s_{\text{эфф}}}} \rightarrow \text{здесь } P \text{ (атм).}$$

Эффективная длина луча зависит от объема, занимаемого газом V_r , и поверхности, его ограничивающей. Обычно ее определяют по формуле А.С.Невского:

$$S_{\text{эфф}} = 3,5(V_{\text{пч}} - V_M)/(F_M + F_{\text{кл}}), \quad (22)$$

где $V_{\text{пч}}$ – объем печи, м³; V_M – объем металла, нагреваемого в печи, м³.

Пример расчета

В качестве примера рассмотрим расчет приведенных коэффициентов излучения при нагреве двух слитков диаметром $d = 1000$ мм и длиной $\ell = 2000$ мм.

Расчет внешнего теплообмена в проектируемых печах начинают с определения основных размеров печи в зависимости от числа слитков и их размещения. Размещение слитков на полу печи в каждом конкретном случае необходимо согласовать с преподавателем. В данном случае слитки расположены в один ряд по ширине пода и в два ряда по длине (рис. 1). Тогда длина рабочего пространства $L = 5,1$ м; ширина $B = 2,5$ м. В термических печах высоту рабочего пространства до замка свода H , зависящую от ширины пода и максимальной температуры газов в печи, можно определить по выражению

$$H = (0,45 + 0,65B) \cdot t_r \cdot 10^{-3} = (0,45 + 0,65 \cdot 2,5) \cdot 1,2 = 2,5 \text{ м.}$$

Максимально возможная температура газов в этих печах не превышает 1200°C. В нагревательных печах величину H принимают исходя из конструктивных соображений и обычно выбирают $H = B$.

В камерных печах рабочее пространство перекрывают арочным сводом с центральным углом $\varphi = 60^\circ$. При таком центральном угле свода $R = B$, а высота боковой стены

$$h = R \cdot \cos(\varphi/2) = 2,5 \cdot \cos 30^\circ = 2,165 \text{ м.}$$

Средняя высота печи

$$h_{cp} = (h + H)/2 = (2,165 + 2,5)/2 = 2,33 \text{ м.}$$

Определим геометрические параметры излучения. Поверхность кладки

$$\begin{aligned} F_{\text{кл}} &= F_{\text{торц.стен}} + F_{\text{бок.стен}} + F_{\text{свода}} + F_{\text{пода}} = \\ &= 2Bh_{cp} + 2Lh + \frac{\pi R \varphi}{180} L + LB = 2 \cdot 2,5 \cdot 2,33 + 2 \cdot 5,1 \cdot 2,165, \\ &+ 3,14 \cdot 2,5 \cdot 60 \cdot 5,1 / 180 + 5,1 \cdot 2,5 = 59,8 \text{ м}^2. \end{aligned}$$

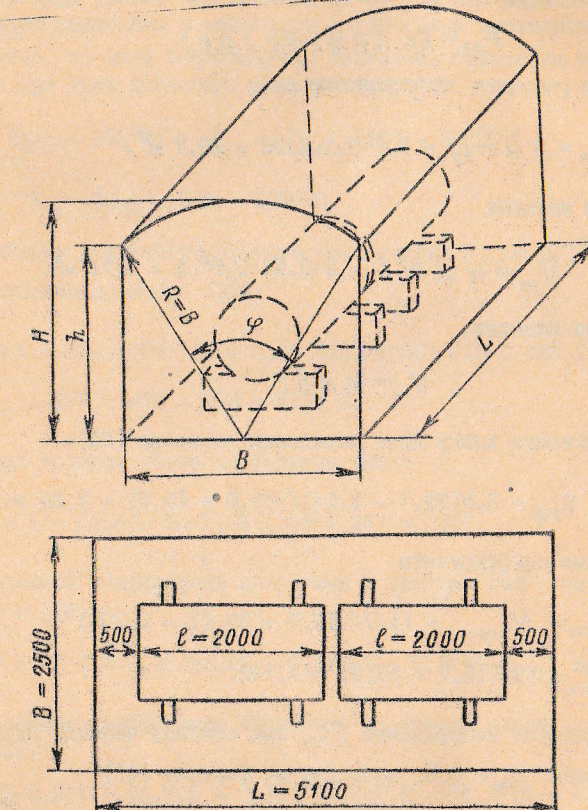


Рис. 1. Эскиз рабочего пространства печи и схема расположения слитков на ее поду

Излучающую поверхность металла определим по формуле

$$F_M = n(2\pi r l + 2\pi r^2),$$

где n - число слитков; r и l - радиус и длина слитка, м:

$$F_M = 2(2 \cdot 3,14 \cdot 0,5 \cdot 2 + 2 \cdot 3,14 \cdot 0,5^2) = 15,7 \text{ м}^2.$$

При нагреве пластин размерами $a \times b \times c$

$$F_M = 2n(a \cdot b + b \cdot c + a \cdot c).$$

Объем рабочего пространства печи

$$V_{np} = B L h_{cp} = 2,5 \cdot 5,1 \cdot 2,33 = 29,7 \text{ м}^3.$$

Объем металла

$$V_M = n \pi r^2 l = 2 \cdot 3,14 \cdot 0,5^2 \cdot 2 = 3,14 \text{ м}^3.$$

При нагреве пластин

$$V_M = n a b c.$$

Эффективную длину луча определим согласно (22):

$$S_{\text{эфф}} = 3,5(29,7 - 3,14)/(59,8 + 15,7) = 1,23 \text{ м.}$$

Угловые коэффициенты

$$\varphi_{KM} = \varphi_{MM} = 15,7/(15,7 + 59,8) = 0,208;$$

$$\varphi_{MK} = 59/(15,7 + 59,8) = 0,792.$$

Приведенный коэффициент C_{pM} при степени черноты окисленной стали, равной $\varepsilon_M = 0,8$, вычислим по формуле (17):

$$C_{pM} = 5,67 \cdot 0,8 \cdot 0,792 / (1 - 0,208(1 - 0,8)) = 3,443 \text{ Вт/м}^2 \text{К}^4.$$

Для расчета двух других приведенных коэффициентов необходимо сначала определить степень черноты газов, заполняющих рабочее пространство печи. В расчете горения топлива было определено, что в продуктах сгорания содержится 9,14 % CO_2 и 19,27 % H_2O . Следовательно, парциальное давление углекислого газа $p_{\text{CO}_2} = 0,0914 \cdot 0,0981 = 0,009 \text{ МПа}$, а паров воды $p_{\text{H}_2\text{O}} = 0,193 \cdot 0,0981 = 0,019 \text{ МПа}$. Далее, для того чтобы использовать формулы (21) и (20), необходимо определить температуру газов, заполняющих печь. Так как заранее мы не знаем, при каких значениях температуры газов нужно вычислить степень черноты газов, то этой температурой задается. Определим степень черноты газов при трех значениях температур:

$$t_{r1} = t_{nk} = 850^\circ\text{C}; \quad t_{r2} = t_{nk} + 100 = 950^\circ\text{C};$$

$$t_{r3} = t_{nk} + 200 = 1050^\circ\text{C}.$$

Рассмотрим в качестве примера расчет при $t_{r1} = 850^\circ\text{C}$. Коэффициент ослабления согласно (21):

$$K = 0,8(1 + 20 \cdot 0,019) \cdot (1 - 0,38 \cdot 1123/1000) / \sqrt{10 \cdot 0,028 \cdot 1,23} = 1,08;$$

$$T_{r1} = t_{r1} + 273 = 850 + 273 = 1123 \text{ К.}$$

Степень черноты газов по формуле (20):

$$\varepsilon_r = 1 - \exp[-10 \cdot 1,08 \cdot 0,028 \cdot 1,23] = 0,31.$$

Приведенный коэффициент излучения в системе газ - металл в соответствии с (18):

$$C_{rM} = 5,67 \cdot 0,8 \cdot 0,31 / (0,31 + 0,208(1 - 0,31)) = 3,1 \text{ Вт/м}^2 \text{К}^4.$$

Приведенный коэффициент излучения в системе кирпич - металл по формуле (19):

$$C_{KM} = 5,67 \cdot 0,8(1 + 15,7(1 - 0,31)/59,8) / (1 + 15,7 \cdot (1 - 0,31)(1 - 0,8) / 59,8) = 5,17 \text{ Вт/м}^2 \text{К}^4.$$

Аналогично рассчитываем значения приведенных коэффициентов излучения при других температурах газа. Результаты расчета сводим в табл. 5.

Таблица 5

t_f , °C	ϵ_f	C_{FM}	C_{KM}	C_{PM}
		Bt/m ² K ⁴		
850	0,31	3,1	5,17	
950	0,3	3,0	5,18	3,44
1050	0,28	2,76	5,2	

РАСЧЕТ РЕЖИМА НАГРЕВА МЕТАЛЛА

Принимаем следующий режим нагрева: первый период – нагрев при постоянной температуре печи ($T_{пч} = const$) до заданной конечной температуры поверхности заготовок; второй период – выравнивание температур по сечению заготовки при постоянной температуре поверхности ($T_{пов} = const$) до заданного конечного перепада температур по сечению заготовки.

Аналитические методы расчета нагрева и охлаждения металла основываются на решении дифференциального уравнения теплопроводности (уравнение Фурье):

$$\frac{\partial T}{\partial \tau} = \alpha \left(\frac{\partial^2 T}{\partial x^2} + \frac{\partial^2 T}{\partial y^2} + \frac{\partial^2 T}{\partial z^2} \right) = \alpha \nabla^2 T. \quad (23)$$

Для неограниченной пластины, когда тепловой поток становится одномерным, это уравнение запишем в форме

$$\frac{\partial T}{\partial \tau} = \alpha \frac{\partial^2 T}{\partial x^2}. \quad (24)$$

Применим к неограниченному цилиндру уравнение (23) в цилиндрических координатах будет иметь вид

$$\frac{\partial T}{\partial \tau} = \alpha \left(\frac{\partial^2 T}{\partial r^2} + \frac{1}{r} \frac{\partial T}{\partial r} \right). \quad (25)$$

Чтобы получить однозначное решение уравнений (23) – (25), необходимо задаться краевыми условиями задачи, состоящими из начальных и граничных условий.

Начальное условие характеризует распределение температур в теле в момент времени, принимаемый за начало нагрева или охлаждения тела.

Границные, или поверхностные, условия определяют изменения температуры на поверхности тела или взаимодействие этой поверхности с окружающей тело средой.

При расчетах режима нагрева и охлаждения металла обычно используют три способа задания граничных условий.

Границные условия первого рода задают распределение температуры поверхности тела как функции координат и времени.

Границные условия второго рода определяют тепловой поток на поверхность тела как функцию времени.

Границные условия третьего рода задают характер изменения температуры окружающей тело среды как функцию времени и закон теплообмена между поверхностью тела и этой средой.

Решение уравнения (24) при граничных условиях третьего рода (постоянная температура среды) имеет вид *и неограниченной среде* *и ограниченной среде*

$$\Theta = \sum_{n=1}^{\infty} \frac{2 \sin \mu_n}{\mu_n + \sin \mu_n \cdot \cos \mu_n} \cdot \cos \left(\mu_n \cdot \frac{x}{S} \right) \cdot e^{-\mu_n^2 F_o}. \quad (26)$$

Здесь значения μ_n являются решениями характеристического уравнения

$$\operatorname{ctg} \mu = \mu / Bi. \quad (27)$$

Решение уравнения (25) при граничных условиях третьего рода имеет вид

$$\Theta = \sum_{n=1}^{\infty} \frac{2 J_1(\mu_n)}{\mu_n [J_0^2(\mu_n) + J_1^2(\mu_n)]} \cdot J_0 \left(\mu_n \frac{r}{R} \right) \cdot e^{-\mu_n^2 F_o}. \quad (28)$$

В этом выражении $J_0(\mu)$ и $J_1(\mu)$ – функции Бесселя первого рода нулевого и первого порядков соответственно, а значения μ_n являются решениями характеристического уравнения

$$\frac{J_0(\mu)}{J_1(\mu)} = \frac{\mu}{Bi}. \quad (29)$$

В формулах (26) и (28)

$$\theta = \frac{T_{nq} - T}{T_{nq} - T_h} = \frac{t_{nq} - t}{t_{nq} - t_h} \quad (30)$$

- относительная (безразмерная) избыточная температура; T_{nq} , T и T_h - соответственно абсолютная температура печи, температура в рассматриваемой точке тела и средняя начальная температура тела, К; t_{nq} , t и t_h - те же температуры, °C; F_0 и B_i - числа Фурье и Био:

$$F_0 = \frac{\alpha \tau}{x^2}, \quad (31)$$

$$B_i = \frac{\alpha x}{\lambda}. \quad (32)$$

При симметричном нагреве пластины толщиной $\delta = 2s$, вычисляя значения F_0 и B_i , за определяющий размер тела принимают $x = s$, т.е. половину ее толщины.

В случае симметричного нагрева цилиндра определяющий размер $x = R$, т.е. равняется его радиусу.

Анализ решений (26) и (28) показывает что при $F_0 \geq 0,3$ для пластины и $F_0 \geq 0,25$ для цилиндра наступает так называемый регулярный (установившийся) тепловой режим, когда в этих решениях можно ограничиться только первым членом ряда. Погрешность вследствие отбрасывания всех членов ряда, кроме первого, при этом составляет менее 1%. В этом случае решение (26) можно записать для поверхности пластины

$$\theta_n = A_{pl} \cdot \cos \mu_1 \exp(-\mu_1^2 F_0) = P_{pl} \exp(-\mu_1^2 F_0), \quad (33)$$

а для ее оси

$$\theta_\zeta = A_{pl} \exp(-\mu_1^2 F_0). \quad (34)$$

В выражениях (33) и (34)

$$A_{pl} = \frac{2 \sin \mu_1}{\mu_1 + \sin \mu_1 \cdot \cos \mu_1}, \quad P_{pl} = A_{pl} \cdot \cos \mu_1.$$

Факт $A_{pl} \cdot \cos \mu_1 =$

$$= A_{pl} \cos 0 = A_{pl} \cdot \text{tr. при } \frac{x}{s} = 0: \cos \mu_1 \cdot 0 = \\ = \cos 0 = 1.$$

В области регулярного режима решение (28) для поверхности цилиндра имеет вид

$$\theta_n = A_{cyl} J_0(\mu_1) \exp(-\mu_1^2 F_0) = P_{cyl} \exp(-\mu_1^2 F_0), \quad (35)$$

а для его оси

$$\theta_\zeta = A_{cyl} \exp(-\mu_1^2 F_0). \quad (36)$$

В выражениях (35) и (36) принято:

$$A_{cyl} = \frac{2 J_1(\mu_1)}{\mu_1 [J_0^2(\mu_1) + J_1^2(\mu_1)]}; \quad P_{cyl} = A_{cyl} J_0(\mu_1).$$

Значения величин P_{pl} , P_{cyl} , A_{pl} и A_{cyl} в зависимости от числа B_i приведены в табл. 6 и 7.

Коэффициенты для расчета нагрева пластины или цилиндра при промежуточных значениях числа Био можно определить по данным табл. 6 и 7 методом линейной интерполяции.

В области нерегулярного (инерционного) режима нагрева нельзя ограничиться только первым членом ряда решений (26) и (28), поэтому с целью упрощения расчетов эти решения при малых значениях числа обычно представляют в виде графиков для определения температур поверхности и центра пластины и цилиндра [6]. Эти графики приведены на рис. 2-5.

Выравнивание температуры происходит при $T_n = const$, т.е. при граничных условиях первого рода. Расчет выравнивания температур по сечению тела может быть произведен по следующим формулам:

для пластины ($F_0 > 0,06$)

$$\Delta t_K = \Delta t_h \cdot 1,03 \cdot \exp\left(-2,47 \frac{\alpha \tau}{s^2}\right), \quad (37)$$

для цилиндра ($F_0 > 0,08$)

$$\Delta t_K = \Delta t_h \cdot 1,11 \cdot \exp\left(-5,76 \frac{\alpha \tau}{R^2}\right). \quad (38)$$

при параболическом распределении температур по сечению.

Таблица 6

Коэффициенты для расчета нагрева или охлаждения пластины толщиной 25

Число Био $\frac{\alpha \cdot S}{\lambda}$	μ_1	μ_1^2	P_{nA}	A_{nA}
0,00	0,0000	0,0000	1,0000	1,0000
0,01	0,0998	0,0100	0,9970	1,0020
0,1	0,3111	0,0968	0,9670	1,0159
0,5	0,6533	0,4264	0,8490	1,0701
0,6	0,7051	0,4970	0,8230	1,0813
0,7	0,7506	0,5640	0,7980	1,0918
0,8	0,7910	0,6260	0,7740	1,1016
0,9	0,8274	0,6840	0,7510	1,1107
1,0	0,8603	0,7400	0,7290	1,1192
1,5	0,9882	0,9765	0,6459	1,1537
2,0	1,0769	1,1620	0,5590	1,1784
3,0	1,1925	1,4200	0,4480	1,2102
4,0	1,2646	1,5992	0,3700	1,2287
5,0	1,3138	1,7261	0,3140	1,2403
6,0	1,3496	1,8214	0,2730	1,2478
7,0	1,3766	1,8950	0,2410	1,2532
8,0	1,3978	1,9538	0,2160	1,2569
9,0	1,4149	2,0019	0,1960	1,2598
10,0	1,4289	2,0418	0,1800	1,2612
50,0	1,5400	2,3716	0,0400	1,2727
100,0	1,5552	2,4200	0,0200	1,2731
∞	1,5708	2,4670	0,0000	1,2732

В (37) и (38) обозначено: Δt_H и Δt_K - разность температур по сечению тела в начале и конце периода выравнивания, $^{\circ}\text{C}$.

Выражения (37) и (38) получают из решений уравнений (24) и (25) при граничных условиях первого рода.

Если известны значения Δt_K и Δt_H , то из (37) и (38) легко определить время выдержки, необходимое для выравнивания температур по сечению заготовки от Δt_H до Δt_K .

Таблица 7

Коэффициенты для расчета нагрева или охлаждения цилиндра радиусом R

Число Био $\frac{\alpha \cdot R}{\lambda}$	μ_1	μ_1^2	$P_{цил}$	$A_{цил}$
0	0,0000	0,0000	1,0000	1,0000
0,01	0,1412	0,0199	0,9980	1,0031
0,1	0,4417	0,1951	0,9750	1,0245
0,5	0,9408	0,8851	0,8800	1,1142
0,6	1,0184	1,0360	0,8580	1,1345
0,7	1,0873	1,1840	0,8360	1,1539
0,8	1,1490	1,3220	0,8150	1,1724
0,9	1,2048	1,4515	0,7950	1,1902
1,0	1,2558	1,5770	0,7740	1,2071
1,5	1,4569	2,1226	0,6875	1,2807
2,0	1,5994	2,5580	0,6100	1,3377
3,0	1,7887	3,1994	0,4920	1,4192
4,0	1,9081	3,6408	0,4070	1,4698
5,0	1,9898	3,9593	0,3450	1,5029
6,0	2,0490	4,1984	0,2990	1,5253
7,0	2,0937	4,3836	0,2620	1,5409
8,0	2,1286	4,5309	0,2340	1,5523
9,0	2,1566	4,6509	0,2100	1,5611
10,0	2,1795	4,7502	0,1910	1,5677
50,0	2,3572	5,5564	0,0400	1,5995
100,0	2,3809	5,6800	0,0200	1,6014
∞	2,4048	5,7830	0,0000	1,6021

Допускаю Тнесу.

При задании режима нагрева металла важное значение имеет выбор температуры печи $t_{nq} = const$, при которой будет происходить первый период нагрева. При выборе этой температуры нужно учитывать, что при нагреве (охлаждении) тел в них возникают тепловые (температурные) напряжения, которые могут явиться одним из факторов, ограничивающих скорость нагрева [6].

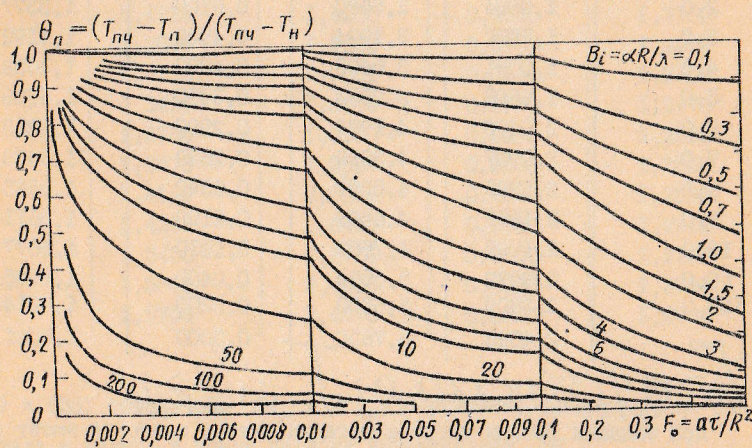
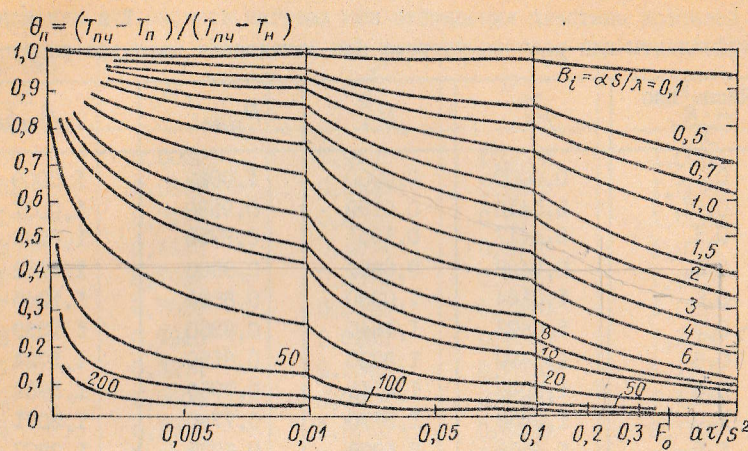


Рис. 2. Температура поверхности неограниченной пластины с толщиной $2S$

Рис. 3. Температура поверхности бесконечного цилиндра с радиусом R

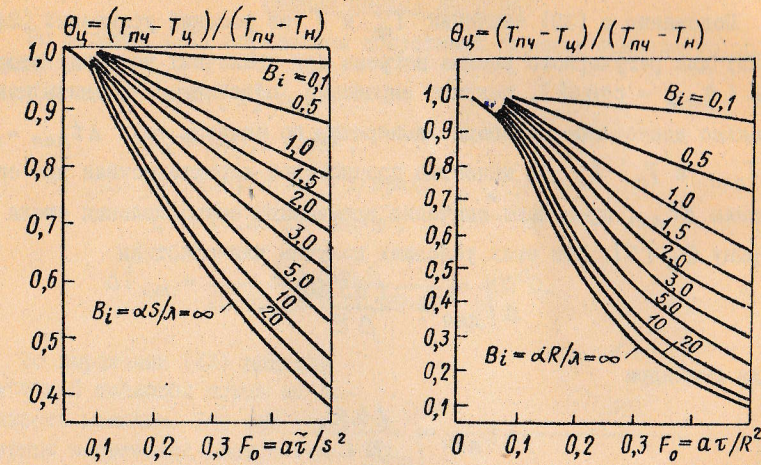


Рис. 4. Температура центра (средней плоскости) неограниченной пластины с толщиной $2S$

Рис. 5. Температура центра (оси) бесконечного цилиндра с радиусом R

Температурные напряжения в стали появляются в интервале от 0 до 500°C . При более высоких температурах сталь приобретает достаточную пластичность и эти напряжения никакой опасности для нее не представляют. Мягкие стали обладают пластичностью во всем интервале температур нагрева, и поэтому скорость их нагрева не лимитируется.

Наиболее чувствительны к напряжениям стали с повышенным содержанием C , Si , Cr и некоторых других элементов.

Зависимость температурных напряжений от деформаций, возникающих при термическом расширении тел, имеет вид

$$\sigma = \frac{\beta E}{1-\gamma} (T_{cp} - T), \quad (39)$$

где β – коэффициент линейного расширения стали; E – модуль упругости; γ – отношение Пуассона (для сталей $\gamma \approx 0,3$); T_{cp} – средняя температура заготовки; T – температура в рассматриваемом сечении или элементе тела.

Подставив в (39) значения T_{cp} и T из решений уравнений (24) и (25) для регулярного режима нагрева при граничных условиях второго рода ($q_{\text{пов}} = \text{const}$), получим выражения, позволяющие оценить максимально допустимые перепады температур по сечению тела $\Delta t_{\text{доп}} = \Delta T_{\text{доп}} = T_n - T_q$. В качестве прочностной характеристики при определении $\Delta t_{\text{доп}}$ принимают значение временного сопротивления стали разрыву σ_B [3]. При этих условиях получим для пластины

$$\Delta t_{\text{доп}} = \frac{1,05 \sigma_B}{\beta E}, \quad (40)$$

а для цилиндра

$$\Delta t_{\text{доп}} = \frac{1,4 \sigma_B}{\beta E}. \quad (41)$$

Определив значение $\Delta t_{\text{доп}}$, можно рассчитать допустимые тепловые потоки на поверхность пластины

$$q_{\text{доп}} = \frac{2\lambda \Delta t_{\text{доп}}}{S} = \frac{2,1 \lambda \sigma_B}{\beta E S} \quad (42)$$

и на поверхность цилиндра

$$q_{\text{доп}} = \frac{2\lambda \Delta t_{\text{доп}}}{R} = \frac{2,8 \lambda \sigma_B}{\beta E R} \quad (43)$$

Далее из формулы (15) можно определить допустимую температуру печи:

$$t_{\text{пч,доп}} = 100 \sqrt[4]{\frac{q_{\text{доп}}}{C_{\text{пм}}} - \left(\frac{t_n + 273}{100} \right)^4} - 273, \quad (44)$$

при которой перепады температур, возникающие по сечению тела в процессе его нагрева при условии $t_{nq} = \text{const}$, не превышают допустимых значений, рассчитанных согласно (42) или (43).

Выполним расчет нагрева металла под термообработку в соответствии с заданием.

Первый период нагрева

По формуле (41) определяем допустимый перепад температур по сечению слитка.

Для стали 40 из [1] имеем:

$$\sigma_B = 626,6 \text{ МН/м}^2;$$

$$\beta = 10,72 \cdot 10^{-6} \text{ 1/град};$$

$$E = 20,29 \cdot 10^4 \text{ МН/м}^2;$$

$$\Delta t_{\text{доп}} = \frac{1,4 \cdot 626,6}{10,72 \cdot 10^{-6} \cdot 20,29 \cdot 10^4} = 403^\circ\text{C}.$$

По выражению (43) находим допустимый тепловой поток на поверхность металла. Так как температурные напряжения должны учитываться при нагреве стали от 20 до 500°C , то сначала определим среднее значение коэффициента теплопроводности в этом интервале температур. Значения λ находим из рис. 6, построенного по данным [1]:

$$\lambda_{cp} = \frac{\lambda_{20} + \lambda_{500}}{2} = \frac{51 + 37}{2} = 44 \text{ Вт/м·град},$$

$$q_{\text{доп}} = \frac{2 \cdot 44 \cdot 403}{0,5} = 70928 \text{ Вт/м}^2.$$

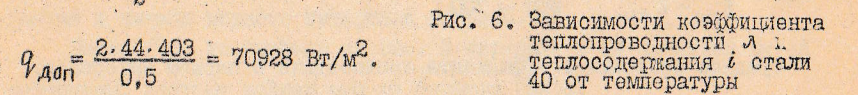


Рис. 6. Зависимости коэффициента теплопроводности λ и теплосодержания i стали 40 от температуры

Далее согласно (44) рассчитываем допустимую температуру печи:

$$t_{\text{пч,доп}} = 100 \sqrt[4]{\frac{70928}{3,443} + \left(\frac{20 + 273}{100} \right)^4} - 273 = 926^\circ\text{C}.$$

Температуру пачи в первом периоде нагрева принимаем несколько ниже допустимой: $t_{nq} = 900^\circ\text{C}$.

Если принять t_{nq} выше допустимой, то это приведет к тому, что и перепад температур по сечению слитка в период нагрева превысит $\Delta t_{\text{доп}} = 403^\circ\text{C}$. Это вполне допустимо при нагреве мягких сталей, для которых скорость нагрева, т.е. перепады температур по сечению изделий из них, не ограничиваются.

Разобьем первый период нагрева на два интервала по температуре поверхности:

первый интервал: от $t_{n1H} = 20^\circ\text{C}$ до $t_{n1K} = 700^\circ\text{C}$;

второй интервал: от $t_{n2H} = 700^\circ\text{C}$ до $t_{n2K} = 850^\circ\text{C}$.

Расчет первого интервала

По формуле (15) определяем тепловые потоки на поверхность металла в начале и конце интервала:

$$q_{1H} = 1,1 \cdot 3,44 \left[\left(\frac{900 + 273}{100} \right)^4 - \left(\frac{20 + 273}{100} \right)^4 \right] = 71359 \text{ Вт}/\text{м}^2;$$

$$q_{1K} = 1,1 \cdot 3,44 \left[\left(\frac{900 + 273}{100} \right)^4 - \left(\frac{700 + 273}{100} \right)^4 \right] = 37722 \text{ Вт}/\text{м}^2.$$

Коэффициенты теплоотдачи в начале и конце интервала:

$$\alpha_{1H} = \frac{q_{1H}}{t_{nq} - t_{n1H}} = \frac{71359}{900 - 20} = 81 \text{ Вт}/\text{м}^2 \cdot \text{град};$$

$$\alpha_{1K} = \frac{q_{1K}}{t_{nq} - t_{n1K}} = \frac{37722}{900 - 700} = 187 \text{ Вт}/\text{м}^2 \cdot \text{град}.$$

Среднее значение коэффициента теплоотдачи в первом интервале:

$$\alpha_{cp1} = \frac{\alpha_{1H} + \alpha_{1K}}{2} = \frac{81 + 187}{2} = 134 \text{ Вт}/\text{м}^2 \cdot \text{град};$$

среднее значение коэффициента теплопроводности стали в первом интервале нагрева:

$$\lambda_{cp1} = \frac{\lambda_{n1H} + \lambda_{n1K} + \lambda_{n2K}}{3} = \frac{\lambda_{20} + \lambda_{20} + \lambda_{700}}{3} = \\ = \frac{51 + 51 + 30}{3} = 44 \text{ Вт}/\text{м} \cdot \text{град}.$$

Величину λ_{cp1} определяем по известным значениям температуры по сечению слитка:

$t_{n1H} = 20^\circ\text{C}$ – начальная температура поверхности слитка;

$t_{n1K} = 20^\circ\text{C}$ – начальная температура центра слитка;

$t_{n2K} = 700^\circ\text{C}$ – температура поверхности слитка в конце первого интервала.

Температура центра слитка t_{n1K} в конце первого интервала нам пока не известна.

Число Био в первом интервале нагрева согласно (32):

$$Bi_1 = \frac{\alpha_{cp1} \cdot R}{\lambda_{cp1}} = \frac{134 \cdot 0,5}{44} = 1,52.$$

Температурный критерий поверхности в конце первого интервала по (30):

$$\theta_{n1K} = \frac{t_{nq} - t_{n1K}}{t_{nq} - t_{cp1H}} = \frac{900 - 700}{900 - 20} = 0,23,$$

где $t_{cp1H} = t_{n1H} = t_{n1K} = 20^\circ\text{C}$ – средняя температура по сечению слитка в начале первого интервала нагрева.

Число Fo_1 из графика на рис. 3 определить не представляется возможным, поэтому найдем его из формулы (35):

$$Fo_1 = -\frac{1}{\mu_1^2} \ln \frac{\theta_{n1K}}{P_{\text{цил}}} = -\frac{1}{2,14} \ln \frac{0,23}{0,6844} = 0,51.$$

Значения μ_1^2 и $P_{\text{цил}}$ определим из табл. 7 методом линейной интерполяции.

Затем по формуле (36) вычислим θ_{n1K} :

$$\theta_{\text{ц1к}} = A_{\text{цил}} \cdot e^{-\frac{\mu_1^2}{2} \cdot F_0} = 1,283 \cdot e^{-2,14 \cdot 0,51} = 1,283 \cdot 0,3357 = 0,43.$$

Из выражения (30) найдем температуру центра слитка в конце первого интервала нагрева:

$$t_{\text{ц1к}} = t_{\text{п1}} - \theta_{\text{ц1к}} (t_{\text{п1}} - t_{\text{ср1н}}) = 900 - 0,43(900 - 20) = 522^{\circ}\text{C}.$$

Уточним значение $\lambda_{\text{ср1}}$ с учетом известного нам теперь значения температуры центра слитка в конце первого интервала нагрева:

$$\lambda'_{\text{ср1}} = \frac{\lambda_{20} + \lambda_{20} + \lambda_{700} + \lambda_{522}}{4} = \frac{51 + 51 + 30 + 37}{4} = 42,3 \text{ Вт/м·град.}$$

Разница между уточненным $\lambda'_{\text{ср1}}$ и его первоначальным значением составляет

$$\frac{44 - 42,3}{44} \cdot 100 = 3,86\%,$$

поэтому пересчитывать не будем. Если же эта разница превысит 10%, следует выполнить дополнительные расчеты при новом значении числа B_{i_1} , рассчитанном с $\lambda'_{\text{ср1}}$.

Перепад температур по сечению слитка в конце первого интервала нагрева:

$$\Delta t_{1k} = t_{\text{п1к}} - t_{\text{ц1к}} = 700 - 522 = 178^{\circ}\text{C}.$$

Средняя температура по сечению слитка в конце первого интервала:

$$t_{\text{ср1к}} = t_{\text{ц1к}} + \frac{1}{2} \Delta t_{1k} = 522 + \frac{1}{2} 178 = 611^{\circ}\text{C}.$$

Среднюю температуру по сечению пластины определяют по формуле

$$t_{\text{ср}} = t_{\text{п1}} + \frac{1}{3} \Delta t.$$

Расчетная теплоемкость стали в первом интервале нагрева

$$c_{\rho 1} = \frac{i_{\text{ср1к}} - i_{\text{ср1н}}}{t_{\text{ср1к}} - t_{\text{ср1н}}} = \frac{i_{611} - i_{20}}{611 - 20} = \frac{350 - 10}{611 - 20} = 0,58 \text{ кДж/кг·град},$$

где i — теплосодержание стали при соответствующей температуре. Значения i находим из графика на рис. 6.

Среднее значение коэффициента температуропроводности в первом интервале нагрева

$$\alpha_{\text{ср1}} = \frac{\lambda_{\text{ср1}}}{c_{\rho 1} \rho} = \frac{44}{580 \cdot 7850} = 96 \cdot 10^{-7} \text{ м}^2/\text{с} = 0,035 \text{ м}^2/\text{ч},$$

где ρ — плотность стали, $\text{кг}/\text{м}^3$. Поскольку плотность стали мало зависит от температуры, будем считать $\rho = 7850 \text{ кг}/\text{м}^3 = \text{const}$ для всего времени нагрева слитков.

Время нагрева в первом интервале согласно (31):

$$T_1 = \frac{F_0 \cdot R^2}{\alpha_{\text{ср1}}} = \frac{0,51 \cdot (0,5)^2}{0,035} = 3,64 \text{ ч.}$$

Температура газа в начале нагрева по (16):

$$t_{\text{г1н}} = \sqrt[4]{\frac{q_{1н}}{c_{\text{рм}}} + \left(\frac{T_{\text{п1н}}}{100}\right)^4} - 273 = \\ = 100 \sqrt[4]{\frac{71359}{2,76} + \left(\frac{20+273}{100}\right)^4} - 273 = 996^{\circ}\text{C}.$$

Температура газа в конце первого интервала нагрева:

$$t_{\text{г1к}} = 100 \sqrt[4]{\frac{37722}{3,0} + \left(\frac{700+273}{100}\right)^4} - 273 = 938^{\circ}\text{C}.$$

Температура кладки в начале нагрева в соответствии с (16):

$$t_{\text{кл1н}} = 100 \sqrt[4]{\frac{q_{1н}}{c_{\text{км}}} + \left(\frac{T_{\text{п1н}}}{100}\right)^4} - 273 = 100 \sqrt[4]{\frac{71359}{5,17} + \left(\frac{20+273}{100}\right)^4} - 273 = 833^{\circ}\text{C}.$$

Температура кладки в конце первого интервала нагрева:

$$t_{\text{кл1к}} = 100 \sqrt[4]{\frac{37722}{5,17} + \left(\frac{700+273}{100}\right)^4} - 273 = 856^{\circ}\text{C}.$$

Расчет второго интервала

Порядок проведения расчета режима нагрева металла для второго интервала такой же, как и для первого:

$$q_{2H} = q_{1K} = 37722 \text{ Вт/м}^2 ;$$

$$q_{2K} = 1,1 \cdot 3,44 \left[\left(\frac{900+273}{100} \right)^4 - \left(\frac{850+273}{100} \right)^4 \right] = 11455 \text{ Вт/м}^2;$$

$$\alpha_{2H} = \alpha_{1K} = 187 \text{ Вт/м}^2 \cdot \text{град} ;$$

$$\alpha_{2K} = \frac{11455}{900 - 850} = 229 \text{ Вт/м}^2 \cdot \text{град} ;$$

$$\alpha_{cp2} = \frac{187 + 229}{2} = 208 \text{ Вт/м}^2 \cdot \text{град} ;$$

$$\lambda_{cp2} = \frac{\lambda_{700} + \lambda_{522} + \lambda_{850}}{3} = \frac{30 + 37 + 25}{3} = 30,7 \text{ Вт/м \cdot град} ;$$

$$Bi_2 = \frac{208 \cdot 0,5}{30,7} = 3,39 ;$$

$$\theta_{n2K} = \frac{t_{n4} - t_{p2K}}{t_{n4} - t_{cp1K}} = \frac{900 - 850}{900 - 611} = 0,17 ;$$

$$Fo_2 = -\frac{1}{3,37} \ln \frac{0,17}{0,4589} = 0,295 ;$$

$$\theta_{u2K} = 1,4389 \cdot e^{-3,37 \cdot 0,295} = 0,53 ;$$

$$t_{u2K} = t_{n4} - \theta_{u2K} (t_{n4} - t_{cp1K}) = 900 - 0,53(900 - 611) = 747 \text{ }^{\circ}\text{C} ;$$

$$\lambda'_{cp2} = \frac{\lambda_{700} + \lambda_{522} + \lambda_{850} + \lambda_{747}}{4} = \frac{30 + 37 + 25 + 27}{4} = 29,75 \text{ Вт/м \cdot град}.$$

Разница между значениями λ'_{cp2} и λ_{cp2} составляет:

$$\frac{30,7 - 29,75}{30,7} \cdot 100 = 3,1\%,$$

поэтому уточняющий расчет выполнять нет необходимости

$$\Delta t_{2K} = 850 - 747 = 103 \text{ }^{\circ}\text{C} ;$$

$$t_{cp2K} = 747 + \frac{1}{2} \cdot 103 = 799 \text{ }^{\circ}\text{C} ;$$

$$c_{p2} = \frac{i_{799} - i_{611}}{799 - 611} = \frac{540 - 350}{799 - 611} = 1,01 \text{ кДж/кг \cdot град} ;$$

$$a_{cp2} = \frac{30,7}{1010 \cdot 7850} = 38 \cdot 10^{-7} \text{ м}^2/\text{с} = 0,014 \text{ м}^2/\text{ч} ;$$

$$\tau_2 = \frac{0,295 \cdot (0,5)^2}{0,014} = 5,274 ;$$

$$t_{r2H} = t_{r1K} = 938 \text{ }^{\circ}\text{C} ;$$

$$t_{r2K} = 100 \sqrt[4]{\frac{11455}{3,0} + \left(\frac{850+273}{100} \right)^4} - 273 = 912 \text{ }^{\circ}\text{C} ;$$

$$t_{kl2H} = t_{kl1K} = 856 \text{ }^{\circ}\text{C} ;$$

$$t_{kl2K} = 100 \sqrt[4]{\frac{11455}{5,17} + \left(\frac{850+273}{100} \right)^4} - 273 = 887 \text{ }^{\circ}\text{C} .$$

Общее время нагрева в первом периоде:

$$\tau_H = \tau_1 + \tau_2 = 3,64 + 5,27 = 8,91 \text{ ч.}$$

Второй период нагрева

Нагрев происходит при условии $t_n = 850^\circ\text{C} = \text{const}$ (т.е. при граничных условиях первого рода) для выравнивания температур по сечению слитка от $\Delta t_H = 103^\circ\text{C}$ в конце первого периода нагрева до заданного значения $\Delta t_K = 10^\circ\text{C}$.

Время выравнивания температур по сечению цилиндра радиуса R найдем из формулы (38):

$$\tau_B = -\frac{R^2}{5,76 \cdot a} \cdot \ln \frac{\Delta t_K}{1,11 \cdot \Delta t_H}. \quad (45)$$

Время выравнивания температур по сечению пластины толщиной $\delta = 25$ определяют из выражения (37):

$$\tau_B = -\frac{s^2}{2,47 \cdot a} \cdot \ln \frac{\Delta t_K}{1,03 \Delta t_H}. \quad (46)$$

Среднее значение коэффициента теплопроводности во втором периоде нагрева:

$$\lambda_{cpB} = \frac{\lambda_{850} + \lambda_{747} + \lambda_{850} + \lambda_{840}}{4} = \frac{25+27+25+25}{4} = 25,5 \text{ Вт}/\text{м}\cdot\text{град}$$

Средняя температура по сечению слитка в конце нагрева (в конце периода выдержки):

$$t_{cpB} = 840 + \frac{1}{2} \Delta t_K = 840 + 0,5 \cdot 10 = 845^\circ\text{C}.$$

Расчетная теплоемкость во втором периоде нагрева:

$$c_{pb} = \frac{i_{845} - i_{799}}{845 - 799} = \frac{565 - 540}{845 - 799} = 0,54 \text{ кДж}/\text{кг}\cdot\text{град}.$$

Среднее значение коэффициента температуропроводности в период выравнивания температур:

$$\alpha_B = \frac{25,5}{540 \cdot 7850} = 60 \cdot 10^{-7} \text{ м}^2/\text{с} = 0,022 \text{ м}^2/\text{ч}.$$

По формуле (45) определяем продолжительность периода выравнивания температур:

$$\tau_B = -\frac{(0,5)^2}{5,76 \cdot 0,022} \cdot \ln \frac{10}{1,11 \cdot 103} = 4,81 \text{ ч}.$$

Тепловой поток на поверхность металла в конце периода выдержки:

$$q_K = \frac{2 \cdot \lambda_K \Delta t_K}{R} = \frac{2 \cdot 25 \cdot 10}{0,5} = 1000 \text{ Вт}/\text{м}^2.$$

Температура газов в печи в конце выдержки:

$$t_{rB} = 100 \sqrt[4]{\frac{1000}{3,1} + \left(\frac{850+273}{100}\right)^4} - 273 = 856^\circ\text{C}.$$

Температура печи в конце выдержки:

$$t_{pchB} = 100 \sqrt[4]{\frac{1000}{3,44} + \left(\frac{850+273}{100}\right)^4} - 273 = 855^\circ\text{C}.$$

Температура кладки в конце выдержки:

$$t_{klaB} = 100 \sqrt[4]{\frac{1000}{5,17} + \left(\frac{850+273}{100}\right)^4} - 273 = 853^\circ\text{C}.$$

Общее время нагрева слитков:

$$\begin{aligned} \tau &= \tau_H + \tau_B = \\ &= 8,91 + 4,81 = 13,72 \text{ ч}. \end{aligned}$$

Результаты расчета сведены в табл. 8 и представлены на рис. 7.

Общая масса садки в печи:

$$\begin{aligned} E &= V_M \rho = \\ &= 3,14 \cdot 7850 = 24649 \text{ кг}. \end{aligned}$$

Производительность печи:

$$G = \frac{E}{\tau} = \frac{24649}{13,72} = 1797 \text{ кг}/\text{ч}.$$

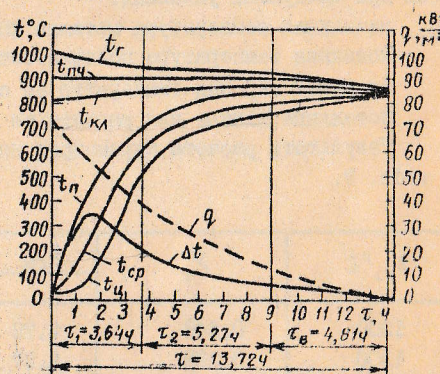


Рис. 7. График нагрева слитков диаметром 1000 мм и длиной 2000 мм из стали 40 под термообработку ($t_n = 850^\circ\text{C}$; $\Delta t_K = 10^\circ\text{C}$)

Напряженность пода печи:

$$P = \frac{G}{F_{под}} = \frac{1797}{2,5 \cdot 5,1} = 141 \text{ кг/м}^2 \cdot \text{ч.}$$

Таблица 8

Результаты расчета нагрева ($^{\circ}\text{C}$) металла под термообработку

Время ч	t_u	t_{cp}	t_n	t_{kl}	t_{n4}	t_r	$q_{пoв}$ $\text{Вт}/\text{м}^2$
				$^{\circ}\text{C}$			
$t = 0$	20	20	20	813	900	996	71359
$t_1 = 3,64$	522	611	700	856	900	938	37722
$t_2 = 5,27$	747	799	850	887	900	912	11455
$t_3 = 4,81$	840	845	850	853	855	856	1000

РАСЧЕТ РЕЖИМА НАГРЕВА МЕТАЛЛА ПОД ОБРАБОТКУ ДАВЛЕНИЕМ

Рассмотрим пример расчета нагрева металла под обработку давлением при следующих условиях:

начальная температура металла 20°C ;

конечная температура поверхности слитков 1200°C ;

конечный перепад температур по сечению слитков 50°C .

Остальные данные для расчета те же, что и в предыдущем задании.

Результаты расчета параметров внешнего теплообмена приведены в табл. 9.

Таблица 9

$t_r, ^{\circ}\text{C}$	ε_r	$C_{\text{ГМ}}$	$C_{\text{КМ}}$	$C_{\text{ПМ}}$
		$\text{Вт}/\text{м}^2 \cdot \text{K}^4$		
1200	0,248	2,78	5,09	
1300	0,229	2,67	5,10	3,44
1400	0,203	2,50	5,12	

Принимаем следующий режим нагрева:

первый период – нагрев при постоянной температуре печи $t_{n4} = 1250^{\circ}\text{C} = \text{const}$;

второй период – выравнивание температур при постоянной температуре поверхности $t_n = 1200^{\circ}\text{C} = \text{const}$.

Первый период разобъем на три интервала по температуре поверхности:

первый интервал: от $t_{n1H} = 20^{\circ}\text{C}$ до $t_{n1K} = 800^{\circ}\text{C}$;

второй интервал: от $t_{n2H} = 800^{\circ}\text{C}$ до $t_{n2K} = 1000^{\circ}\text{C}$;

третий интервал: от $t_{n3H} = 1000^{\circ}\text{C}$ до $t_{n3K} = 1200^{\circ}\text{C}$.

Конечный перепад температур по сечению слитков $\Delta t_k = 50^{\circ}\text{C}$.

Температура печи в первом периоде нагрева выше допустимой по термическим напряжениям $t_{n4 \text{ доп}} = 926^{\circ}\text{C}$. Это приведет к тому, что в процессе нагрева перепады температур по сечению слитков первыят $\Delta t_{\text{доп}} = 403^{\circ}\text{C}$.

Сталь 40 относится к **мягким** сталим, обладающим высокой пластичностью, скорость нагрева которых не ограничивается, следовательно, такой режим нагрева для нее не опасен.

Порядок расчета нагрева металла такой же, как и в предыдущем задании, поэтому приведем только конечные результаты расчета.

Первый интервал.

$$q_{1H} = 203308 \text{ Вт}/\text{м}^2.$$

$$q_{1K} = 153428 \text{ Вт}/\text{м}^2.$$

$$\alpha_{1H} = 165 \text{ Вт}/\text{м}^2 \text{ град.}$$

$$\alpha_{1K} = 341 \text{ Вт}/\text{м}^2 \text{ град.}$$

$$\alpha_{cp1} = 253 \text{ Вт}/\text{м}^2 \text{ град.}$$

$$\lambda_{cp1} = 42,3 \text{ Вт}/\text{м град.}$$

$$Bi_1 = 2,99.$$

$$\theta_{n1K} = 0,366.$$

По графику на рис. 3 находим $Fo_1 = 0,12$, а из рис. 5 – $\theta_{41K} = 0,9$, $t_{u1K} = 143^{\circ}\text{C}$, $\lambda'_{cp1} = 44 \text{ Вт}/\text{м град.}$

Разница между λ'_{cp} и λ_{cp} составляет 4,02%, поэтому уточненный расчет не проводим.

$$\Delta t_{1K} = 657^{\circ}\text{C}.$$

$$t_{cp1K} = 472^{\circ}\text{C}.$$

$$C_{p1} = 0,53 \text{ кДж/кг·град.}$$

$$\alpha_{cp1} = 101 \cdot 10^{-7} \text{ м}^2/\text{с} = 0,036 \text{ м}^2/\text{ч.}$$

$$T_1 = 0,83 \text{ ч.}$$

$$t_{r1H} = 1416^{\circ}\text{C}.$$

$$t_{r1K} = 1357^{\circ}\text{C}.$$

$$t_{KL1H} = 1142^{\circ}\text{C}.$$

$$t_{KL1K} = 1170^{\circ}\text{C}.$$

Второй интервал.

$$q_{2H} = 153428 \text{ Вт/м}^2.$$

$$q_{2K} = 104215 \text{ Вт/м}^2.$$

$$\alpha_{2H} = 341 \text{ Вт/м}^2 \cdot \text{град.}$$

$$\alpha_{2K} = 417 \text{ Вт/м}^2 \cdot \text{град.}$$

$$\alpha_{cp2} = 379 \text{ Вт/м}^2 \cdot \text{град.}$$

$$\lambda_{cp2} = 33,83 \text{ Вт/м·град.}$$

$$Bi_2 = 5,60.$$

$$\theta_{n2K} = 0,32.$$

По графикам на рис. 3 и 5 находим:

$$F_{02} = 0,06.$$

$$\theta_{42K} = 0,098.$$

$$t_{42K} = 488^{\circ}\text{C}.$$

$$\lambda'_{cp2} = 34,75 \text{ Вт/м·град.}$$

Уточняющий расчет не выполняем

$$\Delta t_{2K} = 512^{\circ}\text{C}.$$

$$t_{cp2K} = 744^{\circ}\text{C}.$$

$$C_{p2} = 0,81 \text{ кДж/кг·град.}$$

$$\alpha_{cp2} = 53 \cdot 10^{-7} \text{ м}^2/\text{с} = 0,019 \text{ м}^2/\text{ч.}$$

$$T_2 = 0,79 \text{ ч.}$$

$$t_{r2H} = 1357^{\circ}\text{C}.$$

$$t_{r2K} = 1326^{\circ}\text{C}.$$

$$t_{KL2H} = 1170^{\circ}\text{C}.$$

$$t_{KL2K} = 1198^{\circ}\text{C}.$$

Третий интервал

$$q_{3H} = 104215 \text{ Вт/м}^2.$$

$$q_{3K} = 25447 \text{ Вт/м}^2.$$

$$\alpha_{3H} = 417 \text{ Вт/м}^2 \cdot \text{град.}$$

$$\alpha_{3K} = 509 \text{ Вт/м}^2 \cdot \text{град.}$$

$$\alpha_{cp3} = 463 \text{ Вт/м}^2 \cdot \text{град.}$$

$$\lambda_{cp3} = 31,5 \text{ Вт/м·град.}$$

$$Bi_3 = 7,35.$$

$$\theta_{n3K} = 0,1.$$

По графикам находим:

$$F_{03} = 0,25.$$

$$\theta_{43K} = 0,5.$$

$$t_{43K} = 997^{\circ}\text{C}.$$

$$\lambda'_{cp3} = 30,4 \text{ Вт/м·град.}$$

Выполнять уточняющий расчет нет необходимости.

$$\Delta t_{3K} = 203^{\circ}\text{C}.$$

$$t_{cp3K} = 1099^{\circ}\text{C}.$$

$$C_{p3} = 0,69 \text{ кДж/кг·град.}$$

$$\alpha_{cp3} = 58 \cdot 10^{-7} \text{ м}^2/\text{с} = 0,021 \text{ м}^2/\text{ч.}$$

$$T_3 = 2,99 \text{ ч.}$$

$$t_{r3H} = 1326^{\circ}\text{C}.$$

$$t_{r3K} = 1270^{\circ}\text{C}.$$

$$t_{\text{клзН}} = 1198^{\circ}\text{C}.$$

$$t_{\text{клзК}} = 1238^{\circ}\text{C}.$$

$$\tau_H = \tau_1 + \tau_2 + \tau_3 = 0,83 + 0,79 + 2,99 = 4,61 \text{ ч.}$$

Второй период нагрева

$$\Delta t_H = 203^{\circ}\text{C}.$$

$$\Delta t_K = 50^{\circ}\text{C}.$$

$$\lambda_{cpB} = 28,63 \text{ Вт/м·град.}$$

$$t_{cpB} = 1175^{\circ}\text{C}.$$

$$c_{pB} = 0,59 \text{ кДж/кг·град.}$$

$$\alpha_B = 61 \cdot 10^{-7} \text{ м}^2/\text{с} = 0,022 \text{ м}^2/\text{ч.}$$

$$\tau_B = 2,97 \text{ ч.}$$

$$q_K = 5700 \text{ Вт/м}^2.$$

$$t_{rB} = 1216^{\circ}\text{C}.$$

$$t_{пчB} = 1213^{\circ}\text{C}.$$

$$t_{KLB} = 1209^{\circ}\text{C}.$$

$$\tau = \tau_H + \tau_B = 4,61 + 2,97 = 7,58 \text{ ч.}$$

$$G = 3254 \text{ кг/ч.}$$

$$P = 255 \text{ кг/м}^2 \cdot \text{ч.}$$

Результаты расчета нагрева металла под обработку давлением сведены в табл. 10 и представлены в виде графика на рис. 8.

Таблица 10

Результаты расчета режима нагрева ($^{\circ}\text{C}$) металла под обработку давлением

Время, ч	t_u	t_{cp}	t_n	t_{KL}	$t_{пч}$	t_r	$q_{нов}, \text{Вт/м}^2$
$\tau = 0$	20	20	20	1142	1250	1416	203308
$\tau_1 = 0,83$	143	472	800	1170	1250	1357	153428
$\tau_2 = 0,79$	488	744	1000	1198	1250	1326	104215
$\tau_3 = 2,99$	997	1099	1200	1238	1250	1270	25447
$\tau_B = 2,97$	1150	1175	1200	1209	1213	1216	5700

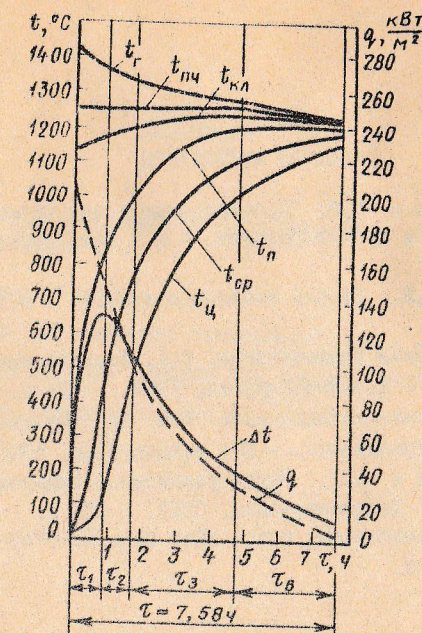


Рис. 8. График нагрева слитков диаметром 1000 мм и длиной 2000 мм из стали 40 под обработку давлением ($t_n = 1200^{\circ}\text{C}$; $\Delta t_K = 50^{\circ}\text{C}$)

Дальнейшие расчеты тепловой работы печи, включающие расчет ее теплового баланса, аэродинамические расчеты, а также расчет основных рабочих параметров рекуператора, изложены в методических указаниях "Расчеты теплового баланса и рекуператора. Аэродинамические расчеты камерных садочных печей" (авторы: В.И.Сталовой, А.А.Буйлов. - Л.: ЛИИ, 1989).

СПИСОК ЛИТЕРАТУРЫ

1. Казанцев Е.И. Промышленные печи: Справочное руководство для расчетов и проектирования. - М.: Металлургия, 1975. - 368 с.
2. Лыков А.В. Теория теплопроводности. - М.: Высшая школа, 1967. - 600 с.
3. Металлургическая теплотехника. Т.1. Теоретические основы /Под ред. В.А.Кривандина. - М.: Металлургия, 1986. - 424 с.
4. Металлургическая теплотехника. Т.2. Конструкция и работа печей /Под ред. В.А.Кривандина. - М.: Металлургия, 1986. - 592 с.
5. Пуговкин А.У. Рекиркуляционные пламенные печи в машиностроении. - Л.: Машиностроение, 1987. - 158 с.
6. Расчет нагревательных печей /Под ред. Н.Ю.Тарна. - Киев: Техника, 1969. - 540 с.

СОДЕРЖАНИЕ

Введение	3
Исходные данные и порядок расчета камерных садочных печей	5
Расчет горения топлива	7
Расчет параметров внешнего теплообмена	13
Расчет режима нагрева металла под термообработку	20
Расчет режима нагрева металла под обработку давлением.	38
Список литературы.	44